

京都大学工学部 正員 佐木 純
 京都大学工学部 正員 西井和夫
 近畿日本鉄道(株) 正員 井上敬三

1.はじめに トリップチェインの考え方を用いた需要予測モデルとしては、これまで吸収マルコフ連鎖モデルを始め数多く開発されている。また1日の交通行動パターンをより明確にとらえるため、トリップ連鎖パターンの類型化・実証的分析にもとづく新たなモデル構築の試みも進められてきている。本研究は、こうした一連の研究成果を踏まえ、都市内業務交通を対象としたトリップ・チェインモデルの開発を目的とし、1日の業務トリップ・チェインを構成するサイクル数・ソージャン数で類型化されたトリップ連鎖パターンに着目した業務交通発生集中量の予測モデルを提案する。

2. モデルの基本的な考え方

まず、1日の訪問先(ソージャン)数がS個である業務トリップ・チェインの各トリップ連鎖パターンを眺めるとき、その訪問先の分布がチェイン内サイクル数($\ell=1,2,\dots,S$)によって規定されるものと考えよう。

今、このベイスゾーン別・ソージャン別トリップ・チェインに対するサイクル・ソージャンゾーン分布 $f_{\ell j}^{(s)}$ を表-1の形で示す。この $f_{\ell j}^{(s)}$ は、ベイスをソージャンに有しチェイン内ソージャン数がS個である業務トリップ・チェインの中で、 ℓ サイクル型のトリップ連鎖パターンで j ゾーンを訪問先として訪れるときの回数を意味する。一般に事業所は業務活動の拠点としての役割を持つが、この業務活動において1日のうちで訪

表-1 サイクル・ソージャンゾーン分布

ソージャン	1	2	---	j	---	N	$f_\ell = \sum_j f_{\ell j}$ ($\ell=1,2,\dots,S$)
1	f_{11}	f_{12}	---	f_{1j}	---	f_{1N}	f_1
2	f_{21}	f_{22}	---	f_{2j}	---	f_{2N}	f_2
\vdots	\vdots	\vdots	---	\vdots	---	\vdots	\vdots
ℓ	$f_{\ell 1}$	$f_{\ell 2}$	---	$f_{\ell j}$	---	$f_{\ell N}$	f_ℓ
\vdots	\vdots	\vdots	---	\vdots	---	\vdots	\vdots
S	f_{S1}	f_{S2}	---	f_{Sj}	---	f_{SN}	f_S
	g_1	g_2	---	g_j	---	g_N	T

$f_{\ell j} = \sum_i f_{ij}$ ($j=1,2,\dots,N$)

$T = \sum_\ell f_\ell$

$T = TC_i(s) \cdot S$

$TC_i(s) = \sum_m T_{i m} P_m(s)$

$T_{i m} = m$ 業種 i ゾーン発
業務トリップ件数

$P_m(s) = m$ 業種 i ゾーン
数選択率

問すべき目的地の分布は、そのチェイン内サイクル数と密接な関係があると考えられる。すなわち、例えば1日全体で数ヶ所の訪問先をもつ業務トリップ・チェインにおいて、1サイクル巡回型あるいはピストンタイプ(訪問先と直結されている)の繰返しによるターサイクル型では、ベイスゾーンの位置にも依るが、ターサイクル型はチェイン内ソージャン数の増加とともにベイスゾーンに比較的近距離のゾーンに多く分布し、一方巡回型はソージャン間相互が比較的近距離な空間的分布をなすものと考えられるからである。

そして、この $f_{\ell j}$ の周辺分布 g_j は、ソージャン数Sのトリップ・チェインによって生じるゾーン内の業務トリップ発生(集中)量に等しく、これとよゾーンをベイスとするトリップ・チェインによる発生サイクル数の両者の和は、各ゾーンの業務トリップの発生(集中)量を与えることになる。

したがって本研究では、このようなサイクル・ソージャンゾーン分布の性質を用いることにより、以下に示す推計手順でモデル構築を行うことにする。

①各ゾーンの社会経済属性を説明要因として業種別ベイスゾーン別発生業務トリップ・チェイン数の推計。

②業種別ソージャン数選択率曲線を用いベイスゾーン別ソージャン数別発生業務トリップ・チェイン数の推計。

③サイクル・ソージャンゾーン分布に関する先駆確率式のパラメータ推計を行い、次いで同時確率最大化問題に帰着することによって、サイクル・ソージャンゾーン分布量の推計を行う。

④推計されたサイクル・ソージャンゾーン分布の周辺分布量と別途に得られるゾーン別発生サイクル数の両者の和として、業務トリップ発生(集中)量を推計する。

なお②におけるソージャン数選択率とは、業務トリップ・チェイン内ソージャン数別チェイン数の全チェイン数に占める割合として定義されるものであり、これについての従来の諸分析の検討結果を踏襲している。¹⁾

3. サイクル・ソージャンゾーン分布推計方法

本モデルの定式化でとくに重要なと考えられるサイクルソージャンゾーン分布量の推計に関しては、従来のOD分布交通量推計手法の1つである重力モデル的エンタロピー法を用いることとする。すなわち、以下で示される同時確率最大化問題に帰着することにより、将来のサイクル・ソージャン・ゾーン分布量 x_{ij} を推計する。

$$\text{sub. to } \sum_i x_{2j} = f_2 \quad \dots \quad \text{②}$$

X_{ej} : 将来のサイクル型ゾーンを訪問先として訪れる回数

f_0 : サイズル・ソージーンゾーン分布の持続の周辺分布 ($T = \sum f_i$)

参考文献

上述の先駆確率 g_{ij} の推計式は、例えば次式のような重力モデルタイプを仮定するとき、

$$g_{ej} = \alpha_e w_e^{p_e}(A_j)^{\theta_e} t_j^{-k_e} \quad \dots \quad ④$$

二二七 $w_l = f_{lT} / T$: $l+1$ 倍型相對的發生力

$$A_j = \frac{E_j/t_{ij}}{\sum_i (E_j/t_{ij})} : j\text{'-ン相对的アクセシビリティ}$$

式③の解は、式④の将来値を代入し次式に変形される。

$$\chi_{ej} = \frac{\sum_{ij}^{+\theta_2 - \theta_1} w_e}{\sum_{ij}^{+\theta_2 + \theta_1}} \quad \dots \dots \dots \quad (5)$$

そして、この先駆確率の推計式のタイプは、式④以外にもいくつかのタイプを考えることができ、現況再現性と構造的説明力の秀れたものを検討できる。なお、従来の形式の1つである相対的アクセシビリティを用いたソージャーン数のゾーン分布推計方法は、本モデルにおいてサイクル型を問わない特別な場合であると解釈でき、式③の解の1つの形式に含まれる。

4. モデルの実証的分析結果

ここでは、本モデルの実証的な分析を行うことによってその現況再現性および有効性を検討していくことにする。対象としたデータは、昭和55年度京阪神都市圏P.T.調査の一環として行われた大阪市内の事業所に勤務する従業者に関するP.T.調査から抽出されたデータであり、事業所をベースとしてすべてのトリップ目的が業務か帰社(帰宅)である業務トリップ・チェインである。

表-2 先駆確率の推定パラメータ

(S, L)	α	β	θ	γ
(1, 1)	69.97	—	0.82	1.41
(2, 1)	27.37	1.37	0.76	1.08
(3, 1)	9.10	0.58	0.77	0.89
(4, 1)	3.55	0.25	0.63	0.84
(5, 1)	12.87	1.24	0.55	1.06
(6, 1)	1.63	1.40	0.48	0.50
(7, 1)	1.00	—	0.57	0.28
(2, 2)	118.80	0.79	0.52	1.86
(3, 2)	6.57	-0.56	0.40	1.57
(4, 2)	69.09	0.39	0.74	1.57
(5, 2)	48.02	0.61	0.34	1.71
(6, 2)	2.16	0.02	0.38	0.93
(3, 3)	55.67	0.83	0.80	1.38
(4, 3)	9.26	0.86	0.36	1.09
(5, 3)	10.65	0.36	0.10	1.71
(4, 4)	118.10	0.82	-0.17	2.36

表-3 推定式の相関係数

ソージャーン数	相関係数
1	0.8159
2	0.7505
3	0.6791
4	0.7821
5	0.6881
6	0.4046
7	0.3173
TOTAL	0.6544

注)表-2中
 S:ソージーン数
 L:サイクル数
 $S \leq 7$, $L \leq 4$ のうち、表中の16コの
 トリップ選択パターンを対象とした。

推定式は、式④のタイプであり、

$$g_{\ell j}^{(s,i)} = d_s(w_\ell \beta_\ell^s (A_j)^{\beta_\ell^s - r_\ell^s})$$

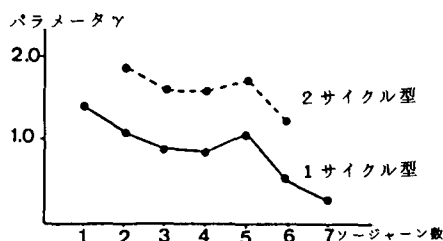


図-1 距離抵抗パラメータの推定値

その結果の一部として、式④のタイプの先駆確率推計式に関する各トリップ連鎖パターン（ソージャン数別サイクル数別）のパラメータ推計結果を表-2に示す。また図-1は、このときの距離抵抗パラメータ値のソージャン数あるいはサイクル型に関する傾向を図示したものである。そして表-3は、先駆確率推計式の適合度を示す相関係数である。これらより、①ソージャン数の多い立ち回り型の適合度が良くない。これは、サンプルのばらつきの問題とともに、推計式の構造上立ち回りの影響が十分表現できていないことに依る。②トリップチェインの性質は、距離抵抗パラメータ値に反映されるが、図-1よりソージャン数の増加とともに小さく、またサイクル数の増加とともに大きい値をとることがわかれ、本アプローチの重要性がうかがわれる。③なお業務トリップの発生集中量の現況再現性は、ソージャン数5以下の適合度が良好なため全体としては非常に良い結果を得ている。なお、その他の詳細については講演時に発表することにする。

- (参考文献) 1) 佐佐木綱、西井和夫(1982)：“トリップ4インチ法を用いた都市内業務交通の発生集中量の分析”, JSCE論文報告集, No.327, pp.29-138
 2) 西井和夫、井上敬三、河瀬謙英(1984)：“トリップ連鎖マップの生成に関する基礎的研究”, 昭和59年度JSCE関西支部毎年学術講演会 同上
 3) 西井和夫、井上敬三(1984)：“トリップ連鎖マップと考慮した都市内業務交通需要予測”